

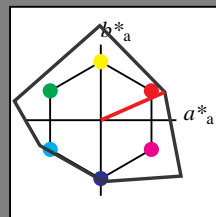
Eingabe: Farbmétrisches Reflexions-System NCS11

für Buntton  $h^* = lab^*h = 24/360 = 0.066$  $lab^*tch$  und  $lab^*nch$ 

D65: Buntton R

LCH\*Ma: 47 92 24

rgb\*Ma: 1.0 0.0 0.0

Dreiecks-Helligkeit  $t^*$ 

%Umfang

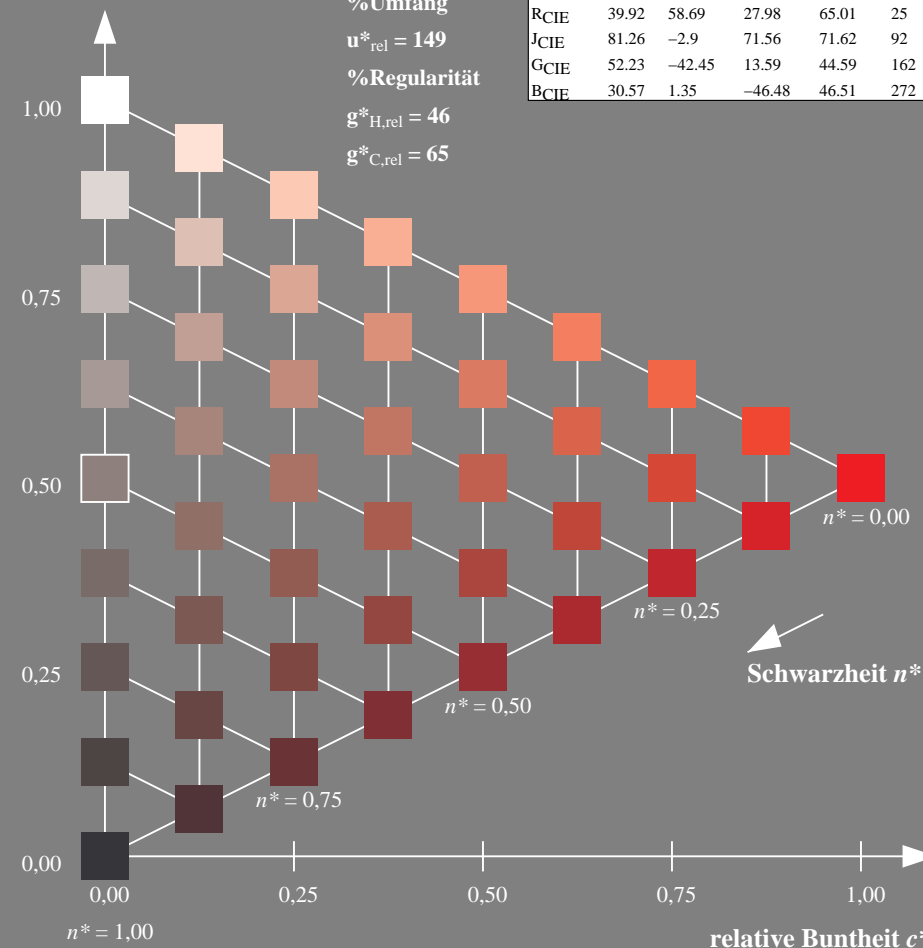
 $u^*_{rel} = 149$ 

%Regularität

 $g^*_{H,rel} = 46$  $g^*_{C,rel} = 65$ 

NCS11; adaptierte CIELAB-Daten

	$L^* = L^*_a$	$a^*_a$	$b^*_a$	$C^*_{ab,a}$	$h^*_{ab,a}$
RMa	47.15	84.64	37.25	92.48	24
JMa	91.37	-1.27	125.03	125.03	91
GMa	63.07	-114.28	25.35	117.06	167
G50BMa	59.47	-80.6	-33.45	87.28	203
BMa	49.01	3.65	-81.19	81.28	273
B50RMa	44.06	106.09	-73.93	129.32	325
NMa	10.99	0.0	0.0	0.0	0
WMa	95.41	0.0	0.0	0.0	0
RCIE	39.92	58.69	27.98	65.01	25
JCIE	81.26	-2.9	71.56	71.62	92
GCIE	52.23	-42.45	13.59	44.59	162
BCIE	30.57	1.35	-46.48	46.51	272



UG790-7, 9stufige Reihen für konstanten CIELAB Buntton 24/360 = 0.066 (links)

BAM-Prüfvorlage UG79; Farbmétrik-Systeme ORS18 & ORS18input: *cmy0\* setcmykcolor*

D65: 9 und 16stufige Farbreihen für 10 Bunttöne

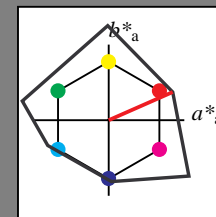
Ausgabe: Farbmétrisches Reflexions-System NCS11

für Buntton  $h^* = lab^*h = 24/360 = 0.066$  $lab^*tch$  und  $lab^*nch$ 

D65: Buntton R

LCH\*Ma: 47 92 24

rgb\*Ma: 1.0 0.0 0.0

Dreiecks-Helligkeit  $t^*$ 

%Umfang

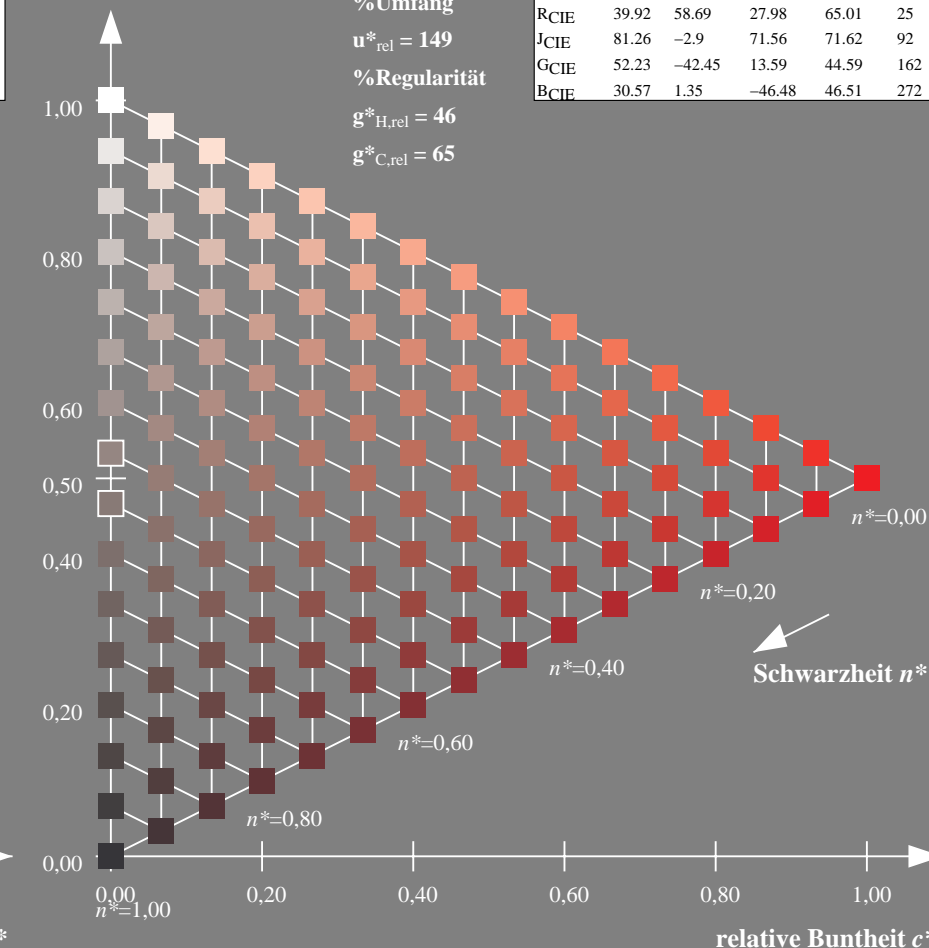
 $u^*_{rel} = 149$ 

%Regularität

 $g^*_{H,rel} = 46$  $g^*_{C,rel} = 65$ 

NCS11; adaptierte CIELAB-Daten

	$L^* = L^*_a$	$a^*_a$	$b^*_a$	$C^*_{ab,a}$	$h^*_{ab,a}$
RMa	47.15	84.64	37.25	92.48	24
JMa	91.37	-1.27	125.03	125.03	91
GMa	63.07	-114.28	25.35	117.06	167
G50BMa	59.47	-80.6	-33.45	87.28	203
BMa	49.01	3.65	-81.19	81.28	273
B50RMa	44.06	106.09	-73.93	129.32	325
NMa	10.99	0.0	0.0	0.0	0
WMa	95.41	0.0	0.0	0.0	0
RCIE	39.92	58.69	27.98	65.01	25
JCIE	81.26	-2.9	71.56	71.62	92
GCIE	52.23	-42.45	13.59	44.59	162
BCIE	30.57	1.35	-46.48	46.51	272



16stufige Reihen für konstanten CIELAB Buntton 24/360 = 0.066 (rechts)

output: *Startup (S) data dependend*

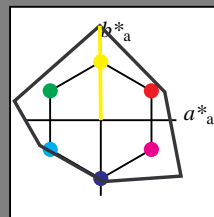
Eingabe: Farbmétrisches Reflexions-System NCS11

für Buntton  $h^* = lab^*h = 91/360 = 0.252$  $lab^*tch$  und  $lab^*nch$ 

D65: Buntton J

LCH\*Ma: 91 125 91

rgb\*Ma: 1.0 1.0 0.0

Dreiecks-Helligkeit  $t^*$ 

%Umfang

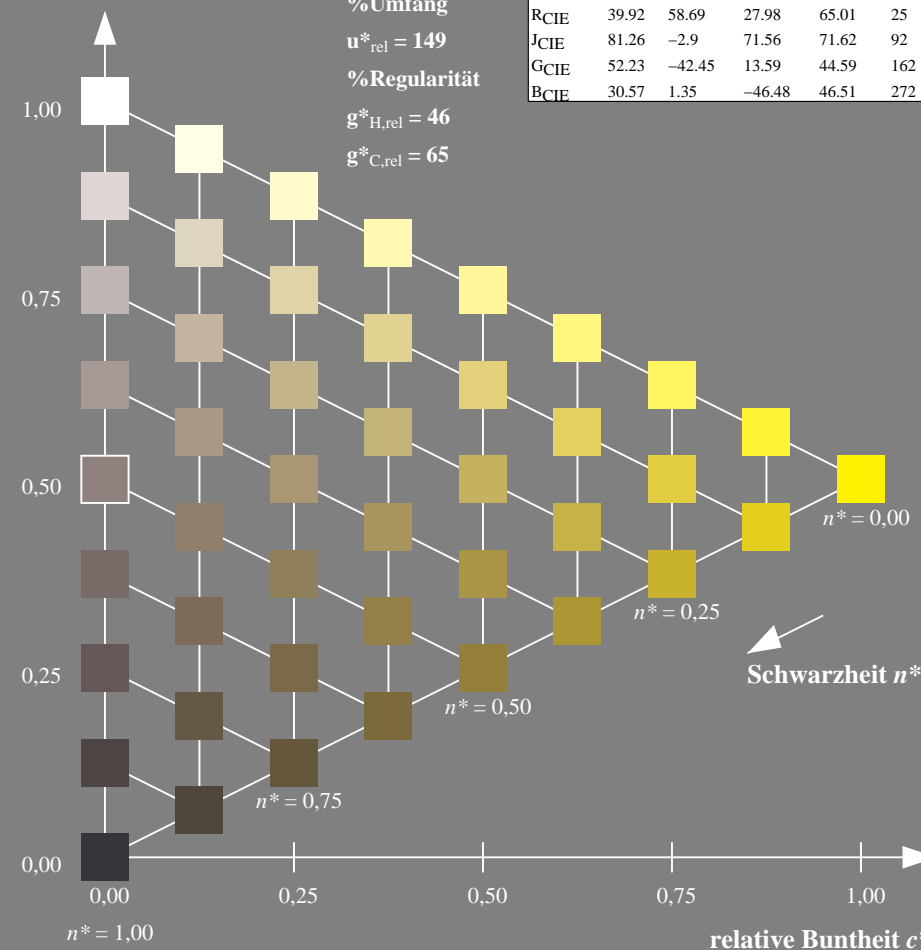
 $u^*_{rel} = 149$ 

%Regularität

 $g^*_{H,rel} = 46$  $g^*_{C,rel} = 65$ 

NCS11; adaptierte CIELAB-Daten

	$L^* = L^*_a$	$a^*_a$	$b^*_a$	$C^*_{ab,a}$	$h^*_{ab,a}$
RMa	47.15	84.64	37.25	92.48	24
JMa	91.37	-1.27	125.03	125.03	91
GMa	63.07	-114.28	25.35	117.06	167
G50B <sub>Ma</sub>	59.47	-80.6	-33.45	87.28	203
B <sub>Ma</sub>	49.01	3.65	-81.19	81.28	273
B50R <sub>Ma</sub>	44.06	106.09	-73.93	129.32	325
N <sub>Ma</sub>	10.99	0.0	0.0	0.0	0
W <sub>Ma</sub>	95.41	0.0	0.0	0.0	0
RCIE	39.92	58.69	27.98	65.01	25
JCIE	81.26	-2.9	71.56	71.62	92
GCIE	52.23	-42.45	13.59	44.59	162
BCIE	30.57	1.35	-46.48	46.51	272

UG790-7, 9stufige Reihen für konstanten CIELAB Buntton  $91/360 = 0.252$  (links)BAM-Prüfvorlage UG79; Farbmétrik-Systeme ORS18 & ORS18input:  $cmY0^* setcmykcolor$ 

D65: 9 und 16stufige Farbreihen für 10 Bunttöne

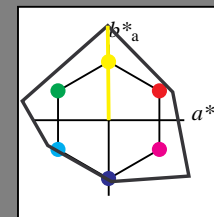
Ausgabe: Farbmétrisches Reflexions-System NCS11

für Buntton  $h^* = lab^*h = 91/360 = 0.252$  $lab^*tch$  und  $lab^*nch$ 

D65: Buntton J

LCH\*Ma: 91 125 91

rgb\*Ma: 1.0 1.0 0.0

Dreiecks-Helligkeit  $t^*$ 

%Umfang

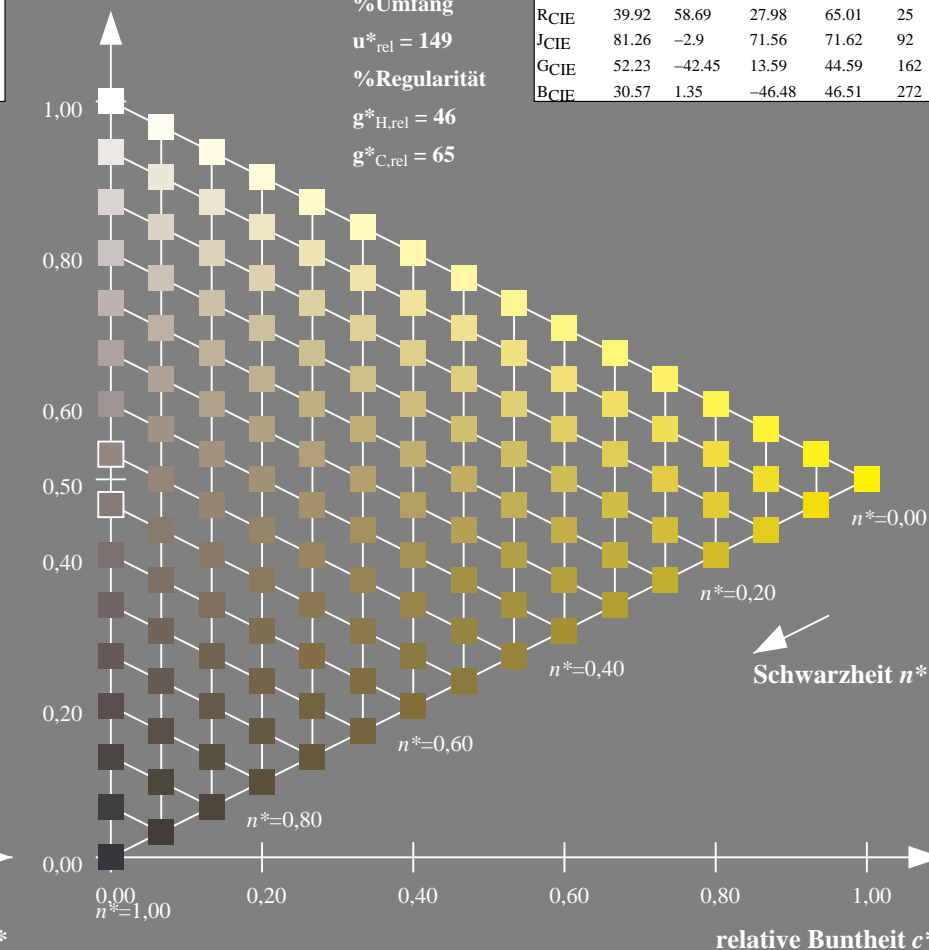
 $u^*_{rel} = 149$ 

%Regularität

 $g^*_{H,rel} = 46$  $g^*_{C,rel} = 65$ 

NCS11; adaptierte CIELAB-Daten

	$L^* = L^*_a$	$a^*_a$	$b^*_a$	$C^*_{ab,a}$	$h^*_{ab,a}$
RMa	47.15	84.64	37.25	92.48	24
JMa	91.37	-1.27	125.03	125.03	91
GMa	63.07	-114.28	25.35	117.06	167
G50B <sub>Ma</sub>	59.47	-80.6	-33.45	87.28	203
B <sub>Ma</sub>	49.01	3.65	-81.19	81.28	273
B50R <sub>Ma</sub>	44.06	106.09	-73.93	129.32	325
N <sub>Ma</sub>	10.99	0.0	0.0	0.0	0
W <sub>Ma</sub>	95.41	0.0	0.0	0.0	0
RCIE	39.92	58.69	27.98	65.01	25
JCIE	81.26	-2.9	71.56	71.62	92
GCIE	52.23	-42.45	13.59	44.59	162
BCIE	30.57	1.35	-46.48	46.51	272

16stufige Reihen für konstanten CIELAB Buntton  $91/360 = 0.252$  (rechts)

output: Startup (S) data dependend

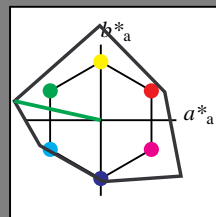
Eingabe: Farbmétrisches Reflexions-System NCS11

für Buntton  $h^* = lab^*h = 167/360 = 0.465$  $lab^*tch$  und  $lab^*nch$ 

D65: Buntton G

LCH\*Ma: 63 117 167

rgb\*Ma: 0.0 1.0 0.0

Dreiecks-Helligkeit  $t^*$ 

%Umfang

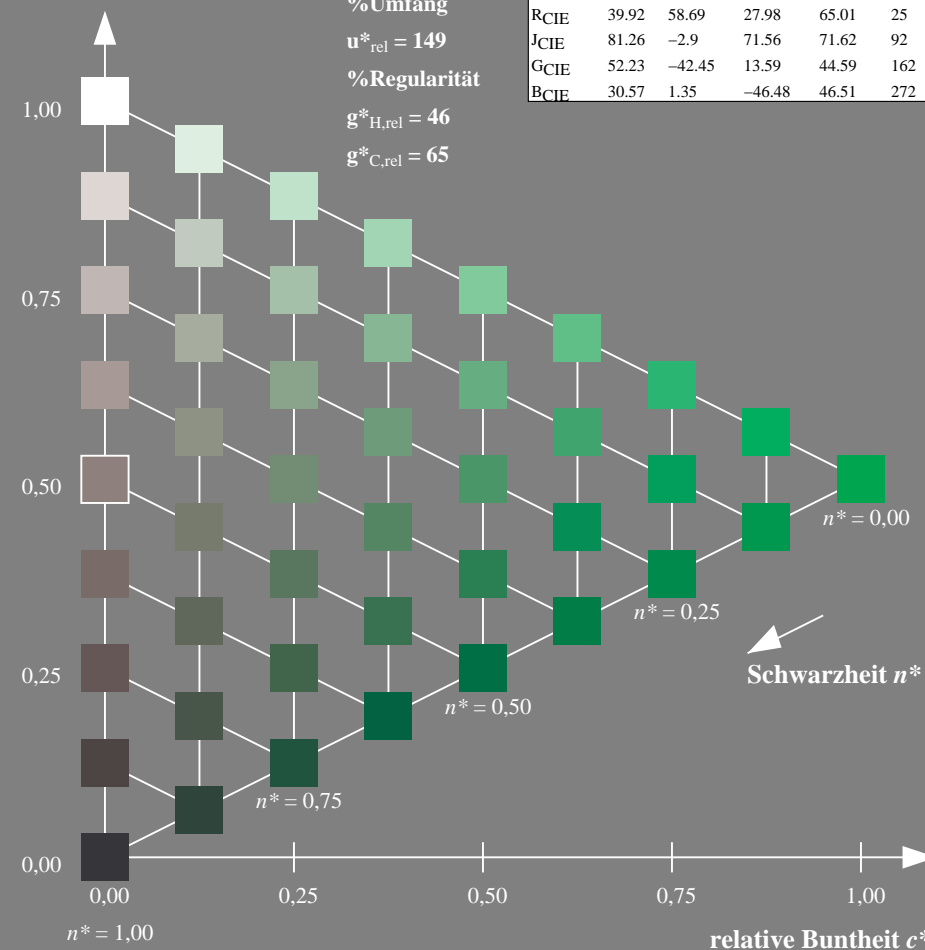
 $u^*_{rel} = 149$ 

%Regularität

 $g^*_{H,rel} = 46$  $g^*_{C,rel} = 65$ 

NCS11; adaptierte CIELAB-Daten

	$L^* = L^*_a$	$a^*_a$	$b^*_a$	$C^*_{ab,a}$	$h^*_{ab,a}$
RMa	47.15	84.64	37.25	92.48	24
JMa	91.37	-1.27	125.03	125.03	91
GMa	63.07	-114.28	25.35	117.06	167
G50B <sub>Ma</sub>	59.47	-80.6	-33.45	87.28	203
B <sub>Ma</sub>	49.01	3.65	-81.19	81.28	273
B50R <sub>Ma</sub>	44.06	106.09	-73.93	129.32	325
N <sub>Ma</sub>	10.99	0.0	0.0	0.0	0
W <sub>Ma</sub>	95.41	0.0	0.0	0.0	0
RCIE	39.92	58.69	27.98	65.01	25
JCIE	81.26	-2.9	71.56	71.62	92
GCIE	52.23	-42.45	13.59	44.59	162
BCIE	30.57	1.35	-46.48	46.51	272



UG790-7, 9stufige Reihen für konstanten CIELAB Buntton 167/360 = 0.465 (links)

BAM-Prüfvorlage UG79; Farbmétrik-Systeme ORS18 & ORS18input: cmy0\* setcmykcolor  
D65: 9 und 16stufige Farbreihen für 10 Bunttöne

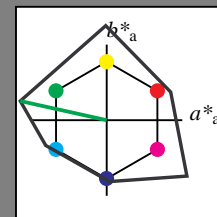
Ausgabe: Farbmétrisches Reflexions-System NCS11

für Buntton  $h^* = lab^*h = 167/360 = 0.465$  $lab^*tch$  und  $lab^*nch$ 

D65: Buntton G

LCH\*Ma: 63 117 167

rgb\*Ma: 0.0 1.0 0.0

Dreiecks-Helligkeit  $t^*$ 

%Umfang

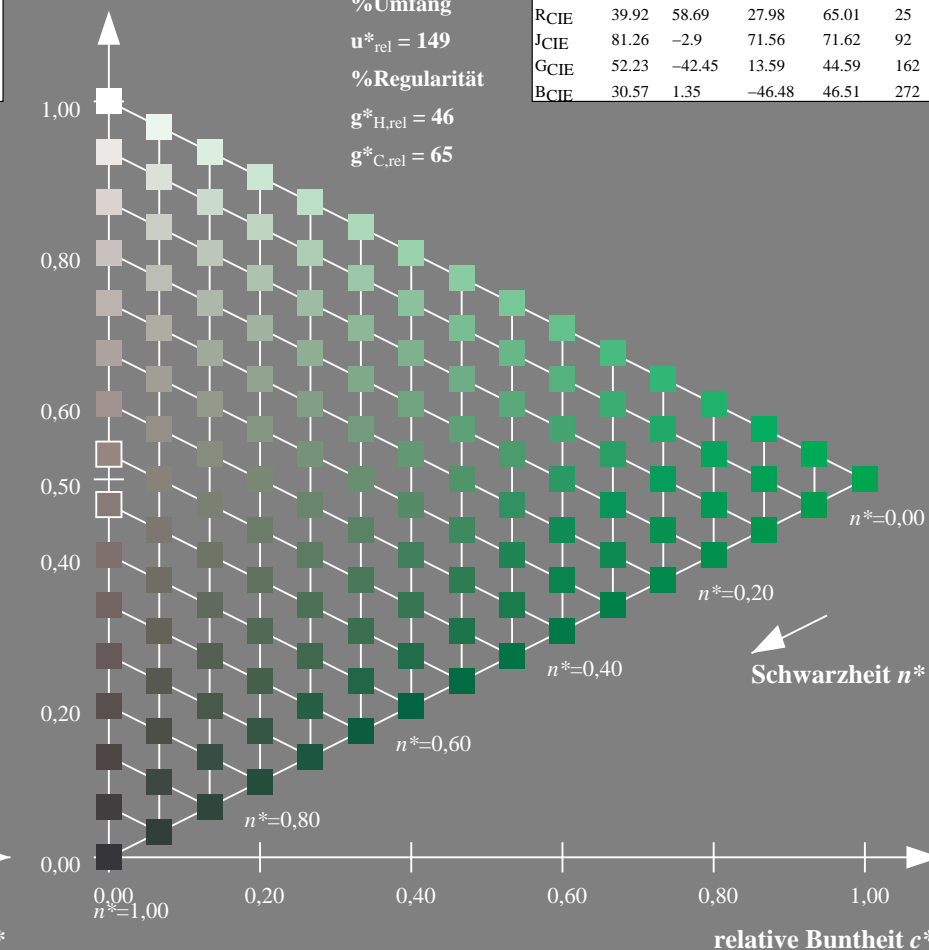
 $u^*_{rel} = 149$ 

%Regularität

 $g^*_{H,rel} = 46$  $g^*_{C,rel} = 65$ 

NCS11; adaptierte CIELAB-Daten

	$L^* = L^*_a$	$a^*_a$	$b^*_a$	$C^*_{ab,a}$	$h^*_{ab,a}$
RMa	47.15	84.64	37.25	92.48	24
JMa	91.37	-1.27	125.03	125.03	91
GMa	63.07	-114.28	25.35	117.06	167
G50B <sub>Ma</sub>	59.47	-80.6	-33.45	87.28	203
B <sub>Ma</sub>	49.01	3.65	-81.19	81.28	273
B50R <sub>Ma</sub>	44.06	106.09	-73.93	129.32	325
N <sub>Ma</sub>	10.99	0.0	0.0	0.0	0
W <sub>Ma</sub>	95.41	0.0	0.0	0.0	0
RCIE	39.92	58.69	27.98	65.01	25
JCIE	81.26	-2.9	71.56	71.62	92
GCIE	52.23	-42.45	13.59	44.59	162
BCIE	30.57	1.35	-46.48	46.51	272



16stufige Reihen für konstanten CIELAB Buntton 167/360 = 0.465 (rechts)

BAM-Material: Code=rh4ta  
Anwendung für Beurteilung und Messung von Drucker- oder Monitorsystemen  
input: cmy0\* setcmykcolor  
output: Startup (S) data dependend

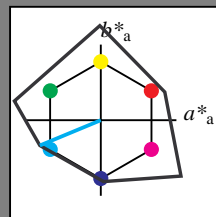
Eingabe: Farbmétrisches Reflexions-System NCS11

für Buntton  $h^* = lab^*h = 203/360 = 0.563$  $lab^*tch$  und  $lab^*nch$ 

D65: Buntton G50B

LCH\*Ma: 59 87 203

rgb\*Ma: 0.0 1.0 1.0

Dreiecks-Helligkeit  $t^*$ 

%Umfang

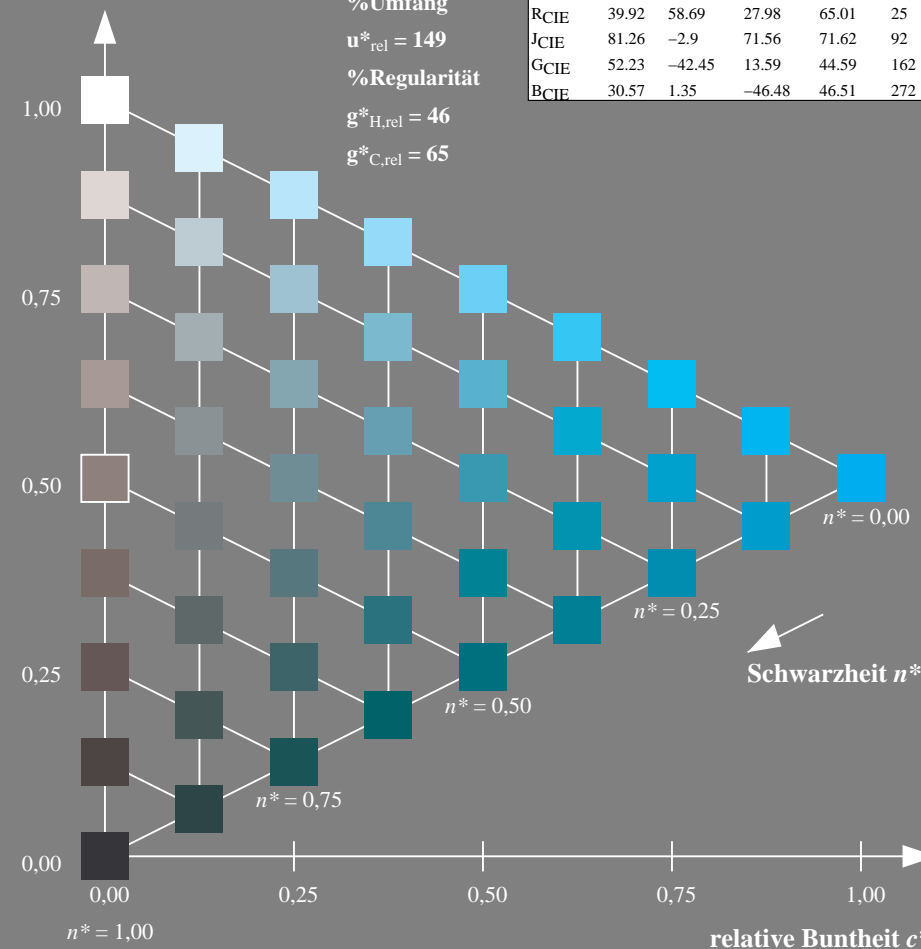
 $u^*_{rel} = 149$ 

%Regularität

 $g^*_{H,rel} = 46$  $g^*_{C,rel} = 65$ 

NCS11; adaptierte CIELAB-Daten

	$L^* = L^*_a$	$a^*_a$	$b^*_a$	$C^*_{ab,a}$	$h^*_{ab,a}$
RMa	47.15	84.64	37.25	92.48	24
JMa	91.37	-1.27	125.03	125.03	91
GMa	63.07	-114.28	25.35	117.06	167
G50B <sub>Ma</sub>	59.47	-80.6	-33.45	87.28	203
B <sub>Ma</sub>	49.01	3.65	-81.19	81.28	273
B50R <sub>Ma</sub>	44.06	106.09	-73.93	129.32	325
N <sub>Ma</sub>	10.99	0.0	0.0	0.0	0
W <sub>Ma</sub>	95.41	0.0	0.0	0.0	0
RCIE	39.92	58.69	27.98	65.01	25
JCIE	81.26	-2.9	71.56	71.62	92
GCIE	52.23	-42.45	13.59	44.59	162
BCIE	30.57	1.35	-46.48	46.51	272



UG790-7, 9stufige Reihen für konstanten CIELAB Buntton 203/360 = 0.563 (links)

BAM-Prüfvorlage UG79; Farbmétrik-Systeme ORS18 & ORS18input: *cmy0\* setcmykcolor*

D65: 9 und 16stufige Farbreihen für 10 Bunttöne

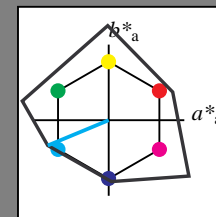
Ausgabe: Farbmétrisches Reflexions-System NCS11

für Buntton  $h^* = lab^*h = 203/360 = 0.563$  $lab^*tch$  und  $lab^*nch$ 

D65: Buntton G50B

LCH\*Ma: 59 87 203

rgb\*Ma: 0.0 1.0 1.0

Dreiecks-Helligkeit  $t^*$ 

%Umfang

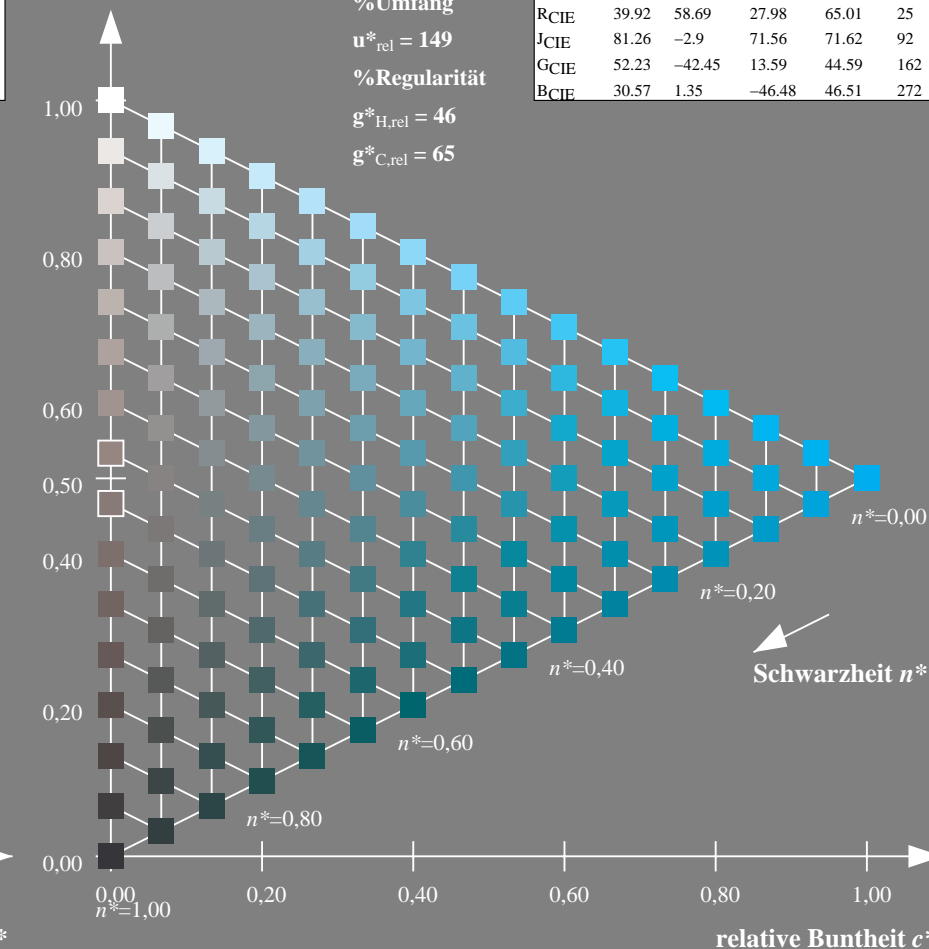
 $u^*_{rel} = 149$ 

%Regularität

 $g^*_{H,rel} = 46$  $g^*_{C,rel} = 65$ 

NCS11; adaptierte CIELAB-Daten

	$L^* = L^*_a$	$a^*_a$	$b^*_a$	$C^*_{ab,a}$	$h^*_{ab,a}$
RMa	47.15	84.64	37.25	92.48	24
JMa	91.37	-1.27	125.03	125.03	91
GMa	63.07	-114.28	25.35	117.06	167
G50B <sub>Ma</sub>	59.47	-80.6	-33.45	87.28	203
B <sub>Ma</sub>	49.01	3.65	-81.19	81.28	273
B50R <sub>Ma</sub>	44.06	106.09	-73.93	129.32	325
N <sub>Ma</sub>	10.99	0.0	0.0	0.0	0
W <sub>Ma</sub>	95.41	0.0	0.0	0.0	0
RCIE	39.92	58.69	27.98	65.01	25
JCIE	81.26	-2.9	71.56	71.62	92
GCIE	52.23	-42.45	13.59	44.59	162
BCIE	30.57	1.35	-46.48	46.51	272



16stufige Reihen für konstanten CIELAB Buntton 203/360 = 0.563 (rechts)

output: *Startup (S) data dependend*

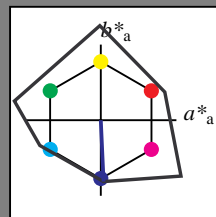
Eingabe: Farbmétrisches Reflexions-System NCS11

für Buntton  $h^* = lab^*h = 273/360 = 0,757$  $lab^*tch$  und  $lab^*nch$ 

D65: Buntton B

LCH\*Ma: 49 81 273

rgb\*Ma: 0.0 0.0 1.0

Dreiecks-Helligkeit  $t^*$ 

%Umfang

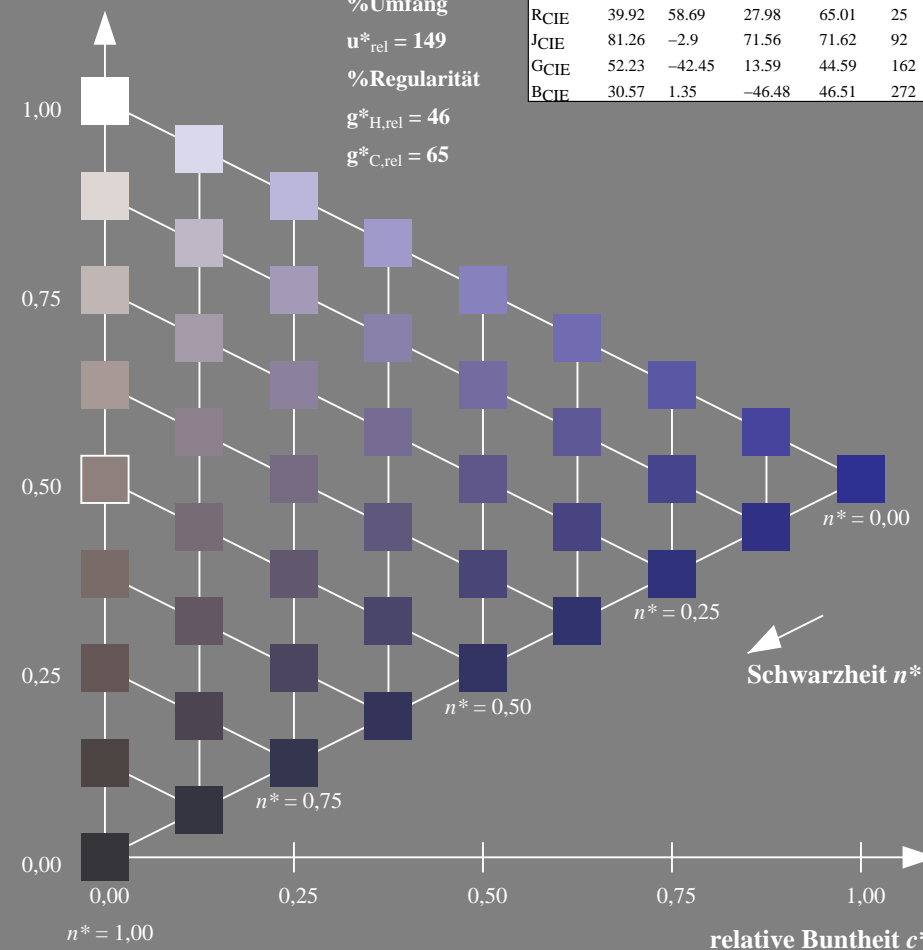
 $u^*_{rel} = 149$ 

%Regularität

 $g^*_{H,rel} = 46$  $g^*_{C,rel} = 65$ 

NCS11; adaptierte CIELAB-Daten

	$L^* = L^*_a$	$a^*_a$	$b^*_a$	$C^*_{ab,a}$	$h^*_{ab,a}$
RMa	47.15	84.64	37.25	92.48	24
JMa	91.37	-1.27	125.03	125.03	91
GMa	63.07	-114.28	25.35	117.06	167
G50BMa	59.47	-80.6	-33.45	87.28	203
BMa	49.01	3.65	-81.19	81.28	273
B50RMa	44.06	106.09	-73.93	129.32	325
NMa	10.99	0.0	0.0	0.0	0
WMa	95.41	0.0	0.0	0.0	0
RCIE	39.92	58.69	27.98	65.01	25
JCIE	81.26	-2.9	71.56	71.62	92
GCIE	52.23	-42.45	13.59	44.59	162
BCIE	30.57	1.35	-46.48	46.51	272



UG790-7, 9stufige Reihen für konstanten CIELAB Buntton 273/360 = 0.757 (links)

BAM-Prüfvorlage UG79; Farbmétrik-Systeme ORS18 & ORS18input: *cmy0\* setcmykcolor*

D65: 9 und 16stufige Farbreihen für 10 Bunttöne

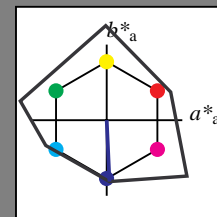
Ausgabe: Farbmétrisches Reflexions-System NCS11

für Buntton  $h^* = lab^*h = 273/360 = 0,757$  $lab^*tch$  und  $lab^*nch$ 

D65: Buntton B

LCH\*Ma: 49 81 273

rgb\*Ma: 0.0 0.0 1.0

Dreiecks-Helligkeit  $t^*$ 

%Umfang

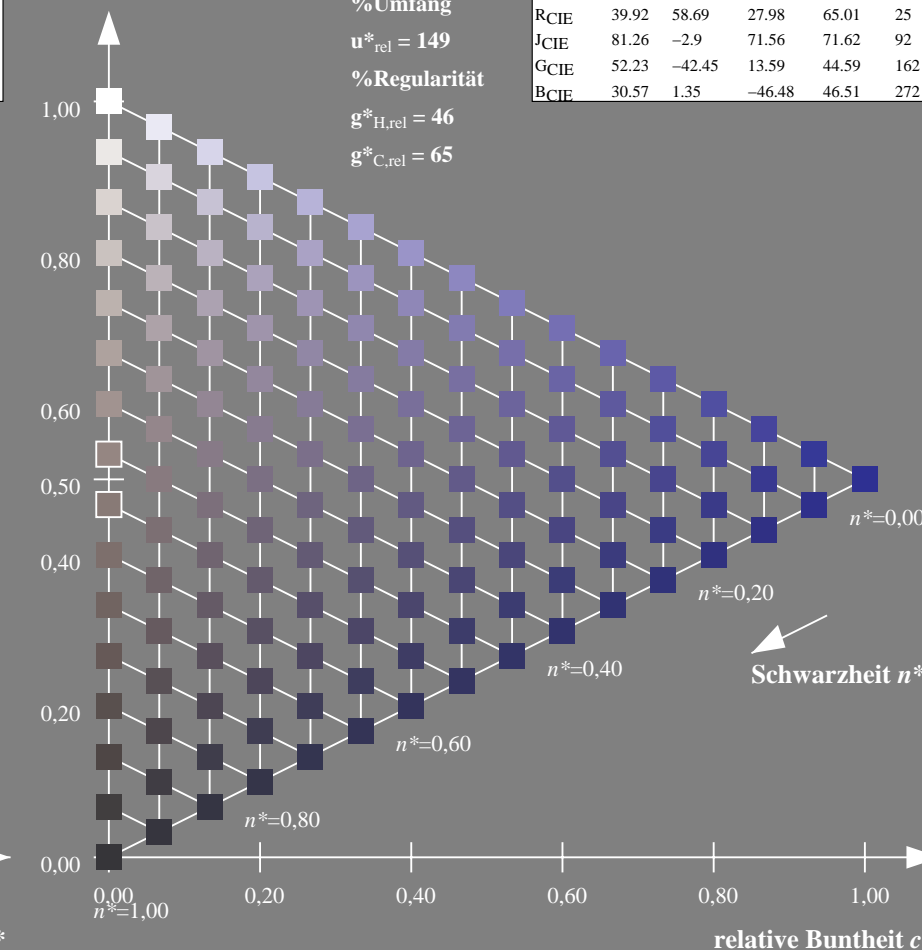
 $u^*_{rel} = 149$ 

%Regularität

 $g^*_{H,rel} = 46$  $g^*_{C,rel} = 65$ 

NCS11; adaptierte CIELAB-Daten

	$L^* = L^*_a$	$a^*_a$	$b^*_a$	$C^*_{ab,a}$	$h^*_{ab,a}$
RMa	47.15	84.64	37.25	92.48	24
JMa	91.37	-1.27	125.03	125.03	91
GMa	63.07	-114.28	25.35	117.06	167
G50BMa	59.47	-80.6	-33.45	87.28	203
BMa	49.01	3.65	-81.19	81.28	273
B50RMa	44.06	106.09	-73.93	129.32	325
NMa	10.99	0.0	0.0	0.0	0
WMa	95.41	0.0	0.0	0.0	0
RCIE	39.92	58.69	27.98	65.01	25
JCIE	81.26	-2.9	71.56	71.62	92
GCIE	52.23	-42.45	13.59	44.59	162
BCIE	30.57	1.35	-46.48	46.51	272



16stufige Reihen für konstanten CIELAB Buntton 273/360 = 0.757 (rechts)

output: *Startup (S) data dependend*

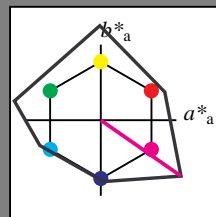
Eingabe: Farbmétrisches Reflexions-System NCS11

für Buntton  $h^* = lab^*h = 325/360 = 0.903$  $lab^*tch$  und  $lab^*nch$ 

D65: Buntton B50R

LCH\*Ma: 44 129 325

rgb\*Ma: 1.0 0.0 1.0

Dreiecks-Helligkeit  $t^*$ 

%Umfang

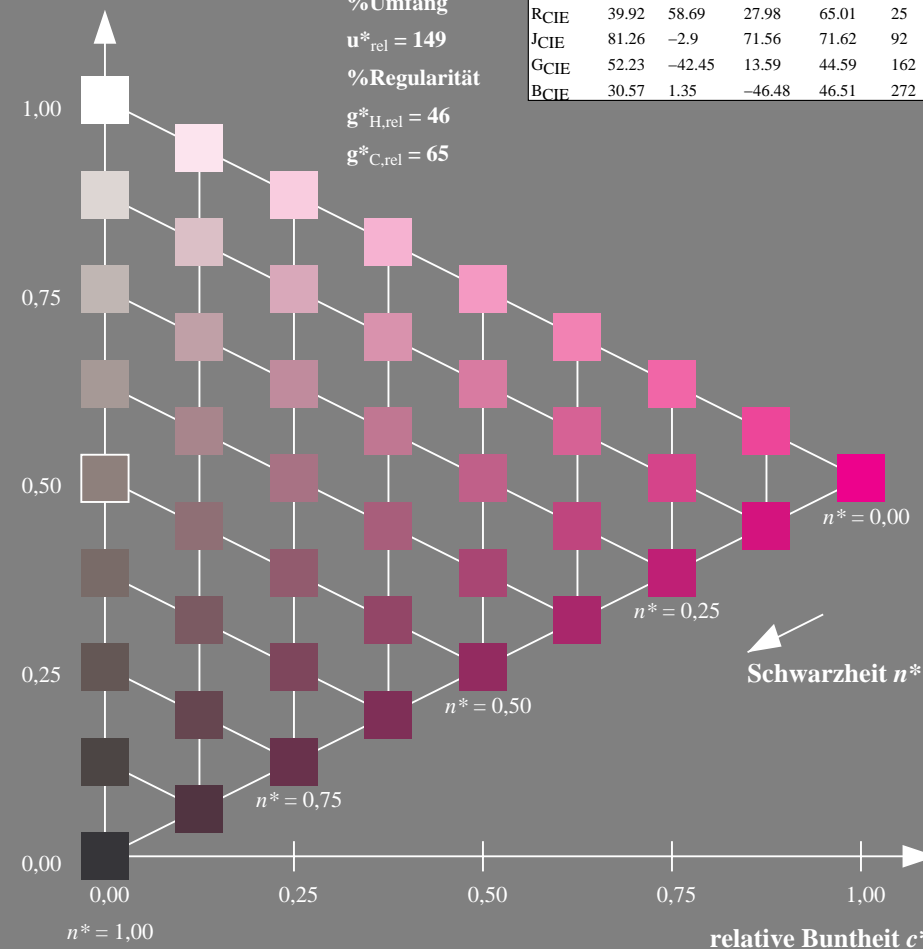
 $u^*_{rel} = 149$ 

%Regularität

 $g^*_{H,rel} = 46$  $g^*_{C,rel} = 65$ 

NCS11; adaptierte CIELAB-Daten

	$L^* = L^*_a$	$a^*_a$	$b^*_a$	$C^*_{ab,a}$	$h^*_{ab,a}$
RMa	47.15	84.64	37.25	92.48	24
JMa	91.37	-1.27	125.03	125.03	91
GMa	63.07	-114.28	25.35	117.06	167
G50BMa	59.47	-80.6	-33.45	87.28	203
BMa	49.01	3.65	-81.19	81.28	273
B50RMa	44.06	106.09	-73.93	129.32	325
NMa	10.99	0.0	0.0	0.0	0
WMa	95.41	0.0	0.0	0.0	0
RCIE	39.92	58.69	27.98	65.01	25
JCIE	81.26	-2.9	71.56	71.62	92
GCIE	52.23	-42.45	13.59	44.59	162
BCIE	30.57	1.35	-46.48	46.51	272



UG790-7, 9stufige Reihen für konstanten CIELAB Buntton 325/360 = 0.903 (links)

BAM-Prüfvorlage UG79; Farbmétrik-Systeme ORS18 & ORS18input: *cmy0\* setcmykcolor*

D65: 9 und 16stufige Farbreihen für 10 Bunttöne

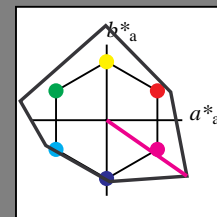
Ausgabe: Farbmétrisches Reflexions-System NCS11

für Buntton  $h^* = lab^*h = 325/360 = 0.903$  $lab^*tch$  und  $lab^*nch$ 

D65: Buntton B50R

LCH\*Ma: 44 129 325

rgb\*Ma: 1.0 0.0 1.0

Dreiecks-Helligkeit  $t^*$ 

%Umfang

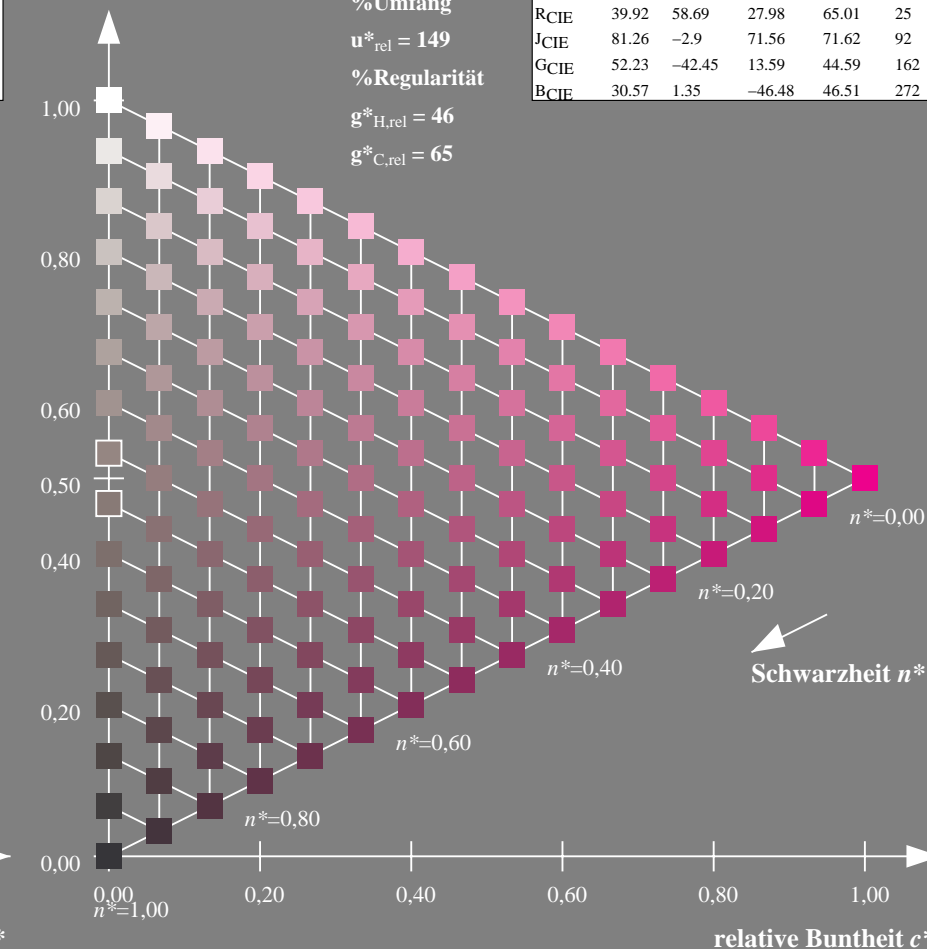
 $u^*_{rel} = 149$ 

%Regularität

 $g^*_{H,rel} = 46$  $g^*_{C,rel} = 65$ 

NCS11; adaptierte CIELAB-Daten

	$L^* = L^*_a$	$a^*_a$	$b^*_a$	$C^*_{ab,a}$	$h^*_{ab,a}$
RMa	47.15	84.64	37.25	92.48	24
JMa	91.37	-1.27	125.03	125.03	91
GMa	63.07	-114.28	25.35	117.06	167
G50BMa	59.47	-80.6	-33.45	87.28	203
BMa	49.01	3.65	-81.19	81.28	273
B50RMa	44.06	106.09	-73.93	129.32	325
NMa	10.99	0.0	0.0	0.0	0
WMa	95.41	0.0	0.0	0.0	0
RCIE	39.92	58.69	27.98	65.01	25
JCIE	81.26	-2.9	71.56	71.62	92
GCIE	52.23	-42.45	13.59	44.59	162
BCIE	30.57	1.35	-46.48	46.51	272



16stufige Reihen für konstanten CIELAB Buntton 325/360 = 0.903 (rechts)

output: *Startup (S) data dependend*

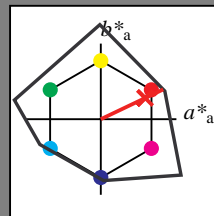
## Eingabe: Farbmétrisches Reflexions-System NCS11

für Buntton  $h^* = lab^*h = 25/360 = 0.071$  $lab^*tch$  und  $lab^*nch$ 

D65: Buntton R

LCH\*Ma: 48 91 25

rgb\*Ma: 1.0 0.02 0.0

Dreiecks-Helligkeit  $t^*$ 

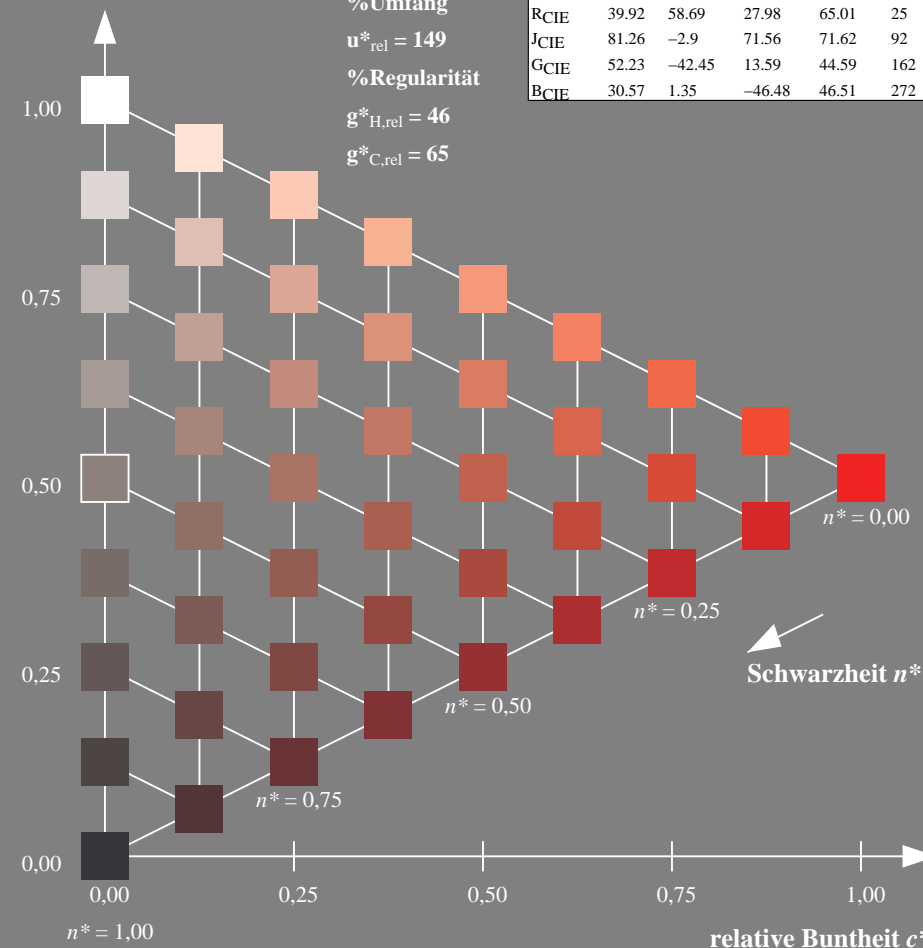
## NCS11; adaptierte CIELAB-Daten

	$L^* = L^*_a$	$a^*_a$	$b^*_a$	$C^*_{ab,a}$	$h^*_{ab,a}$
RMa	47.15	84.64	37.25	92.48	24
JMa	91.37	-1.27	125.03	125.03	91
GMa	63.07	-114.28	25.35	117.06	167
G50BMa	59.47	-80.6	-33.45	87.28	203
BMa	49.01	3.65	-81.19	81.28	273
B50RMa	44.06	106.09	-73.93	129.32	325
NMa	10.99	0.0	0.0	0.0	0
WMa	95.41	0.0	0.0	0.0	0
RCIE	39.92	58.69	27.98	65.01	25
JCIE	81.26	-2.9	71.56	71.62	92
GCIE	52.23	-42.45	13.59	44.59	162
BCIE	30.57	1.35	-46.48	46.51	272

%Umfang

 $u^*_{rel} = 149$ 

%Regularität

 $g^*_{H,rel} = 46$  $g^*_{C,rel} = 65$ 

UG790-7, 9stufige Reihen für konstanten CIELAB Buntton 25/360 = 0.071 (links)

BAM-Prüfvorlage UG79; Farbmétrik-Systeme ORS18 &amp; ORS18input: cmy0\* setcmykcolor

D65: 9 und 16stufige Farbreihen für 10 Bunttöne

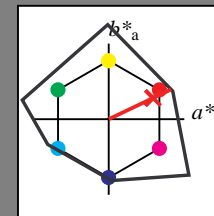
## Ausgabe: Farbmétrisches Reflexions-System NCS11

für Buntton  $h^* = lab^*h = 25/360 = 0.071$  $lab^*tch$  und  $lab^*nch$ 

D65: Buntton R

LCH\*Ma: 48 91 25

rgb\*Ma: 1.0 0.02 0.0

Dreiecks-Helligkeit  $t^*$ 

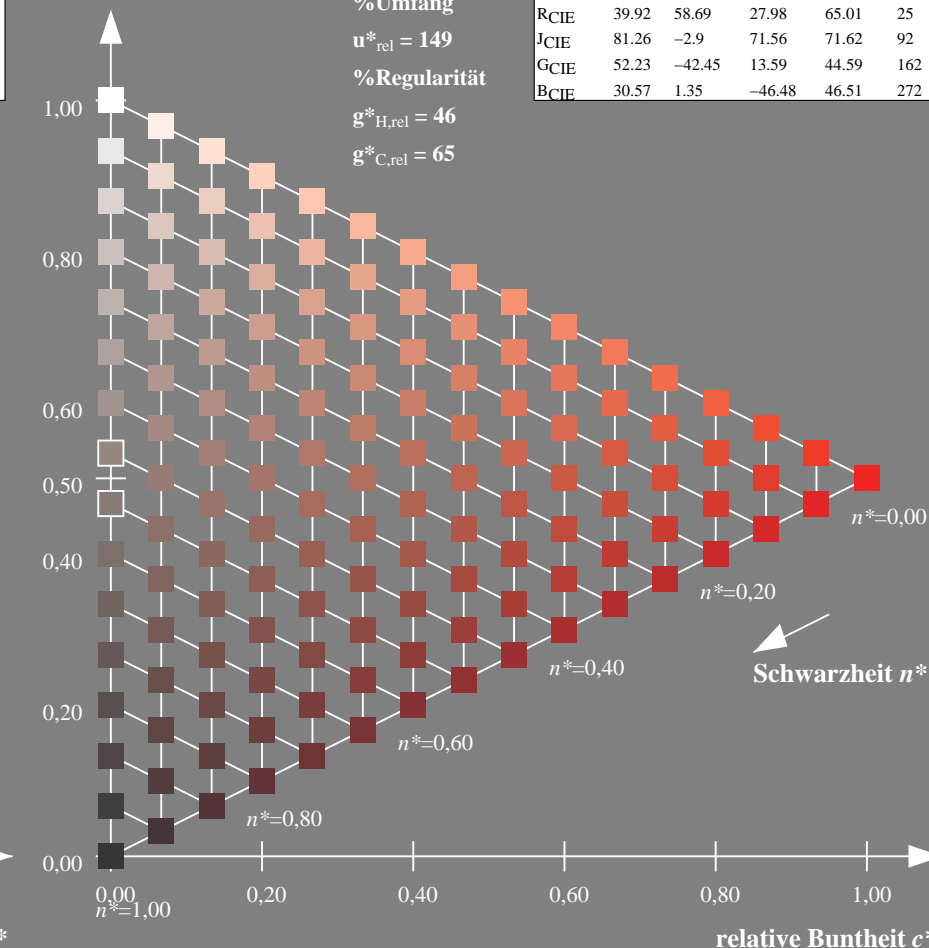
## NCS11; adaptierte CIELAB-Daten

	$L^* = L^*_a$	$a^*_a$	$b^*_a$	$C^*_{ab,a}$	$h^*_{ab,a}$
RMa	47.15	84.64	37.25	92.48	24
JMa	91.37	-1.27	125.03	125.03	91
GMa	63.07	-114.28	25.35	117.06	167
G50BMa	59.47	-80.6	-33.45	87.28	203
BMa	49.01	3.65	-81.19	81.28	273
B50RMa	44.06	106.09	-73.93	129.32	325
NMa	10.99	0.0	0.0	0.0	0
WMa	95.41	0.0	0.0	0.0	0
RCIE	39.92	58.69	27.98	65.01	25
JCIE	81.26	-2.9	71.56	71.62	92
GCIE	52.23	-42.45	13.59	44.59	162
BCIE	30.57	1.35	-46.48	46.51	272

%Umfang

 $u^*_{rel} = 149$ 

%Regularität

 $g^*_{H,rel} = 46$  $g^*_{C,rel} = 65$ 

16stufige Reihen für konstanten CIELAB Buntton 25/360 = 0.071 (rechts)

output: Startup (S) data dependend



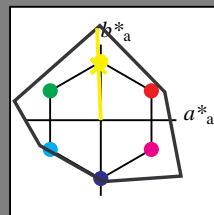
## Eingabe: Farbmétrisches Reflexions-System NCS11

für Buntton  $h^* = lab^*h = 92/360 = 0.256$  $lab^*tch$  und  $lab^*nch$ 

D65: Buntton J

LCH\*Ma: 90 122 92

rgb\*Ma: 0.97 1.0 0.0

Dreiecks-Helligkeit  $t^*$ 

%Umfang

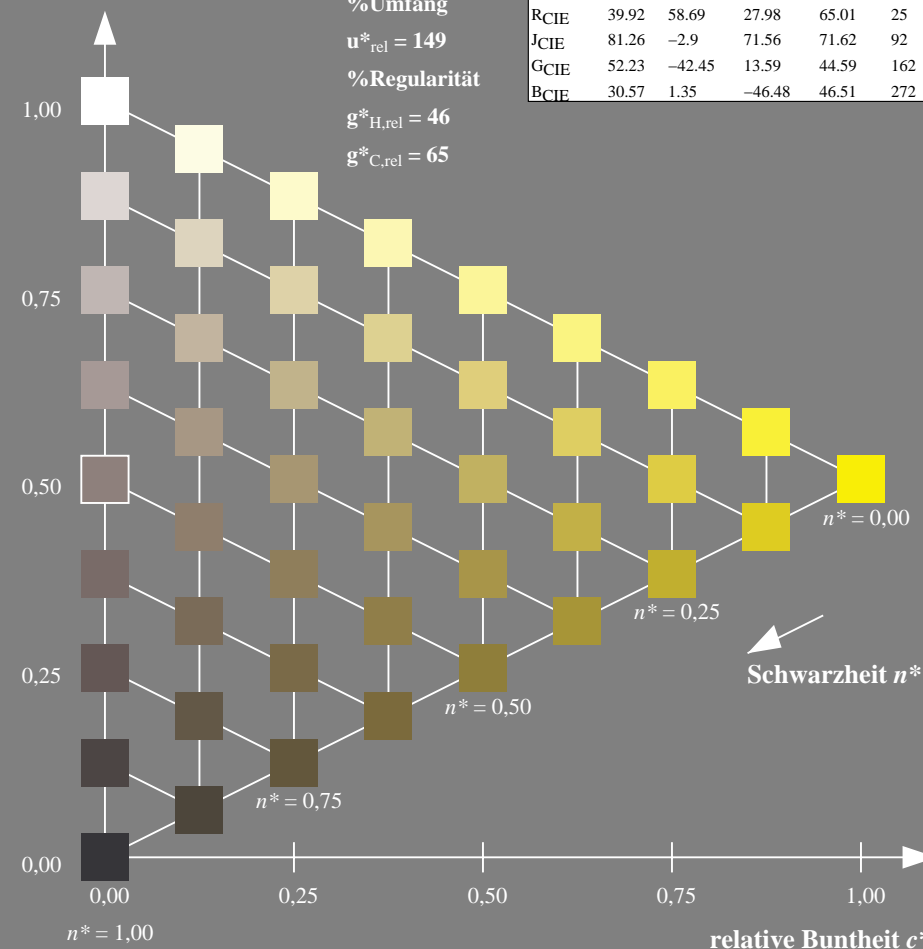
 $u^*_{rel} = 149$ 

%Regularität

 $g^*_{H,rel} = 46$  $g^*_{C,rel} = 65$ 

## NCS11; adaptierte CIELAB-Daten

	$L^* = L^*_a$	$a^*_a$	$b^*_a$	$C^*_{ab,a}$	$h^*_{ab,a}$
RMa	47.15	84.64	37.25	92.48	24
JMa	91.37	-1.27	125.03	125.03	91
GMa	63.07	-114.28	25.35	117.06	167
G50BMa	59.47	-80.6	-33.45	87.28	203
BMa	49.01	3.65	-81.19	81.28	273
B50RMa	44.06	106.09	-73.93	129.32	325
NMa	10.99	0.0	0.0	0.0	0
WMa	95.41	0.0	0.0	0.0	0
RCIE	39.92	58.69	27.98	65.01	25
JCIE	81.26	-2.9	71.56	71.62	92
GCIE	52.23	-42.45	13.59	44.59	162
BCIE	30.57	1.35	-46.48	46.51	272



UG790-7, 9stufige Reihen für konstanten CIELAB Buntton 92/360 = 0.256 (links)

BAM-Prüfvorlage UG79; Farbmétrik-Systeme ORS18 & ORS18input: *cmy0\* setcmykcolor*

D65: 9 und 16stufige Farbreihen für 10 Bunttöne

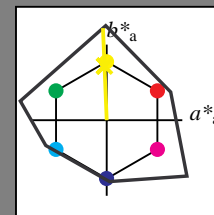
## Ausgabe: Farbmétrisches Reflexions-System NCS11

für Buntton  $h^* = lab^*h = 92/360 = 0.256$  $lab^*tch$  und  $lab^*nch$ 

D65: Buntton J

LCH\*Ma: 90 122 92

rgb\*Ma: 0.97 1.0 0.0

Dreiecks-Helligkeit  $t^*$ 

%Umfang

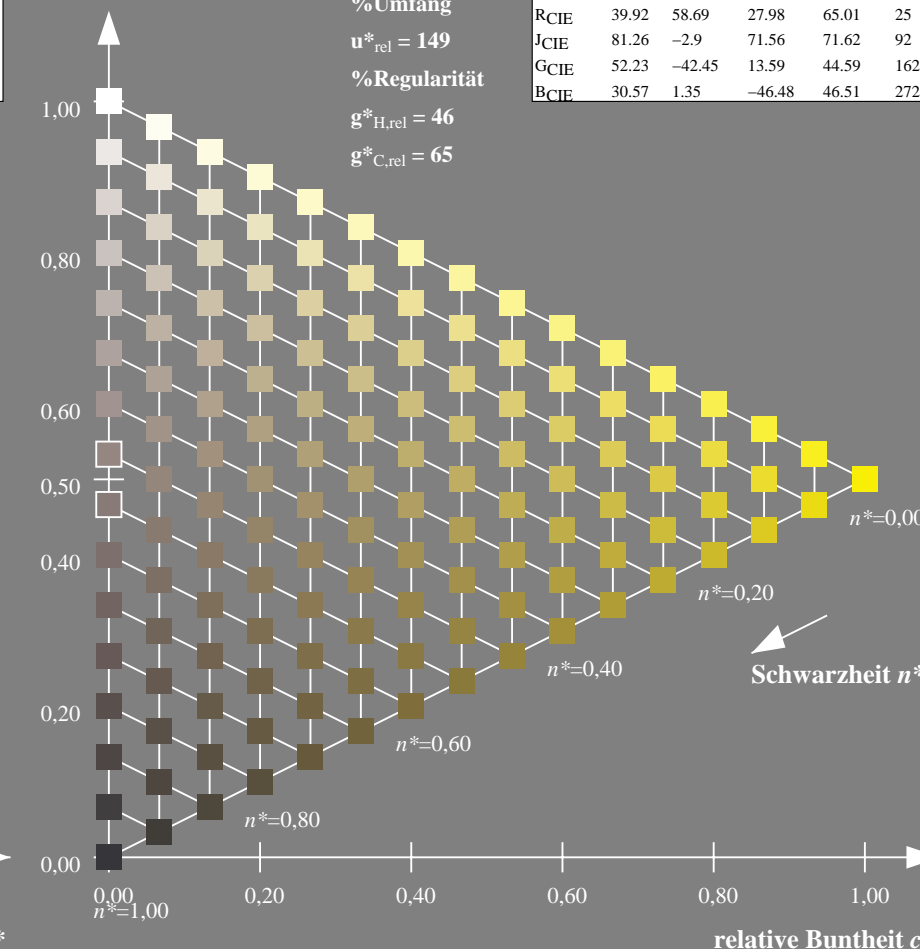
 $u^*_{rel} = 149$ 

%Regularität

 $g^*_{H,rel} = 46$  $g^*_{C,rel} = 65$ 

## NCS11; adaptierte CIELAB-Daten

	$L^* = L^*_a$	$a^*_a$	$b^*_a$	$C^*_{ab,a}$	$h^*_{ab,a}$
RMa	47.15	84.64	37.25	92.48	24
JMa	91.37	-1.27	125.03	125.03	91
GMa	63.07	-114.28	25.35	117.06	167
G50BMa	59.47	-80.6	-33.45	87.28	203
BMa	49.01	3.65	-81.19	81.28	273
B50RMa	44.06	106.09	-73.93	129.32	325
NMa	10.99	0.0	0.0	0.0	0
WMa	95.41	0.0	0.0	0.0	0
RCIE	39.92	58.69	27.98	65.01	25
JCIE	81.26	-2.9	71.56	71.62	92
GCIE	52.23	-42.45	13.59	44.59	162
BCIE	30.57	1.35	-46.48	46.51	272



16stufige Reihen für konstanten CIELAB Buntton 92/360 = 0.256 (rechts)

output: *Startup (S) data dependend*



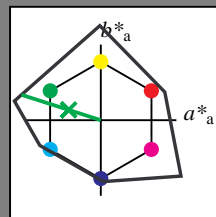
Eingabe: Farbmétrisches Reflexions-System NCS11

für Buntton  $h^* = lab^*h = 162/360 = 0.451$  $lab^*tch$  und  $lab^*nch$ 

D65: Buntton G

LCH\*Ma: 65 110 162

rgb\*Ma: 0.08 1.0 0.0

Dreiecks-Helligkeit  $t^*$ 

%Umfang

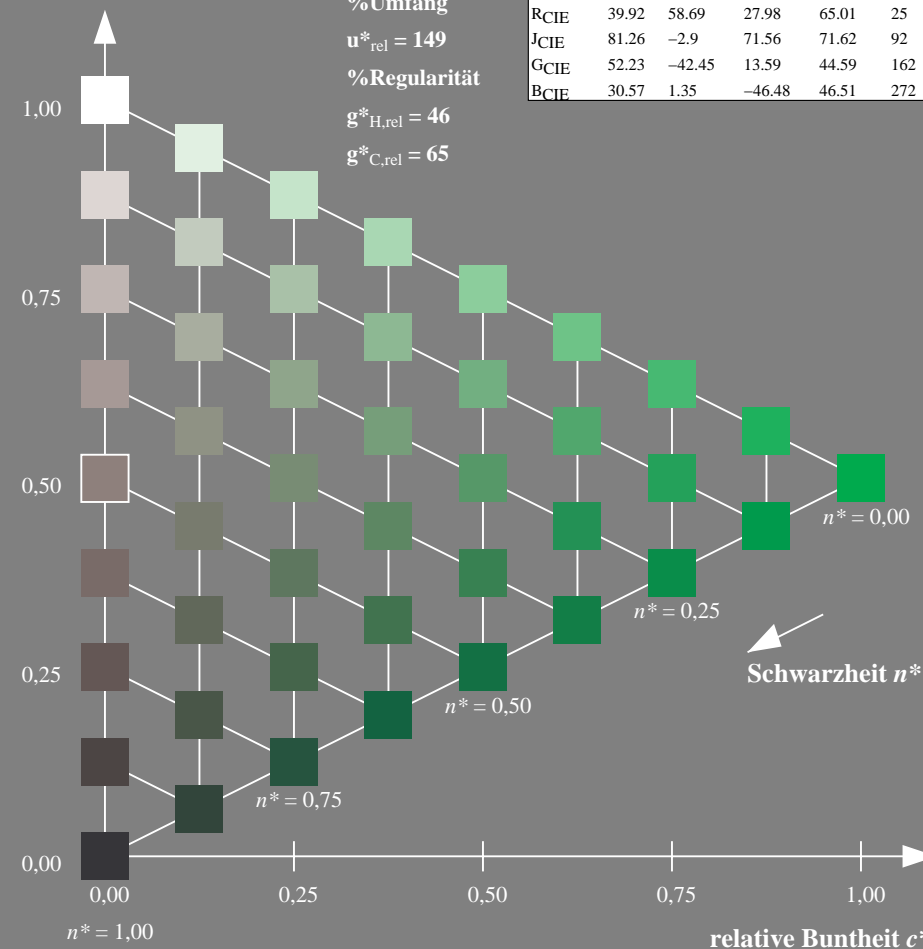
 $u^*_{rel} = 149$ 

%Regularität

 $g^*_{H,rel} = 46$  $g^*_{C,rel} = 65$ 

NCS11; adaptierte CIELAB-Daten

	$L^* = L^*_a$	$a^*_a$	$b^*_a$	$C^*_{ab,a}$	$h^*_{ab,a}$
RMa	47.15	84.64	37.25	92.48	24
JMa	91.37	-1.27	125.03	125.03	91
GMa	63.07	-114.28	25.35	117.06	167
G50B <sub>Ma</sub>	59.47	-80.6	-33.45	87.28	203
B <sub>Ma</sub>	49.01	3.65	-81.19	81.28	273
B50R <sub>Ma</sub>	44.06	106.09	-73.93	129.32	325
N <sub>Ma</sub>	10.99	0.0	0.0	0.0	0
W <sub>Ma</sub>	95.41	0.0	0.0	0.0	0
RCIE	39.92	58.69	27.98	65.01	25
JCIE	81.26	-2.9	71.56	71.62	92
GCIE	52.23	-42.45	13.59	44.59	162
BCIE	30.57	1.35	-46.48	46.51	272



UG790-7, 9stufige Reihen für konstanten CIELAB Buntton 162/360 = 0.451 (links)

BAM-Prüfvorlage UG79; Farbmétrik-Systeme ORS18 &amp; ORS18input: cmy0\* setcmykcolor

D65: 9 und 16stufige Farbreihen für 10 Bunttöne

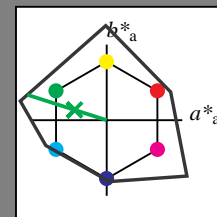
Ausgabe: Farbmétrisches Reflexions-System NCS11

für Buntton  $h^* = lab^*h = 162/360 = 0.451$  $lab^*tch$  und  $lab^*nch$ 

D65: Buntton G

LCH\*Ma: 65 110 162

rgb\*Ma: 0.08 1.0 0.0

Dreiecks-Helligkeit  $t^*$ 

%Umfang

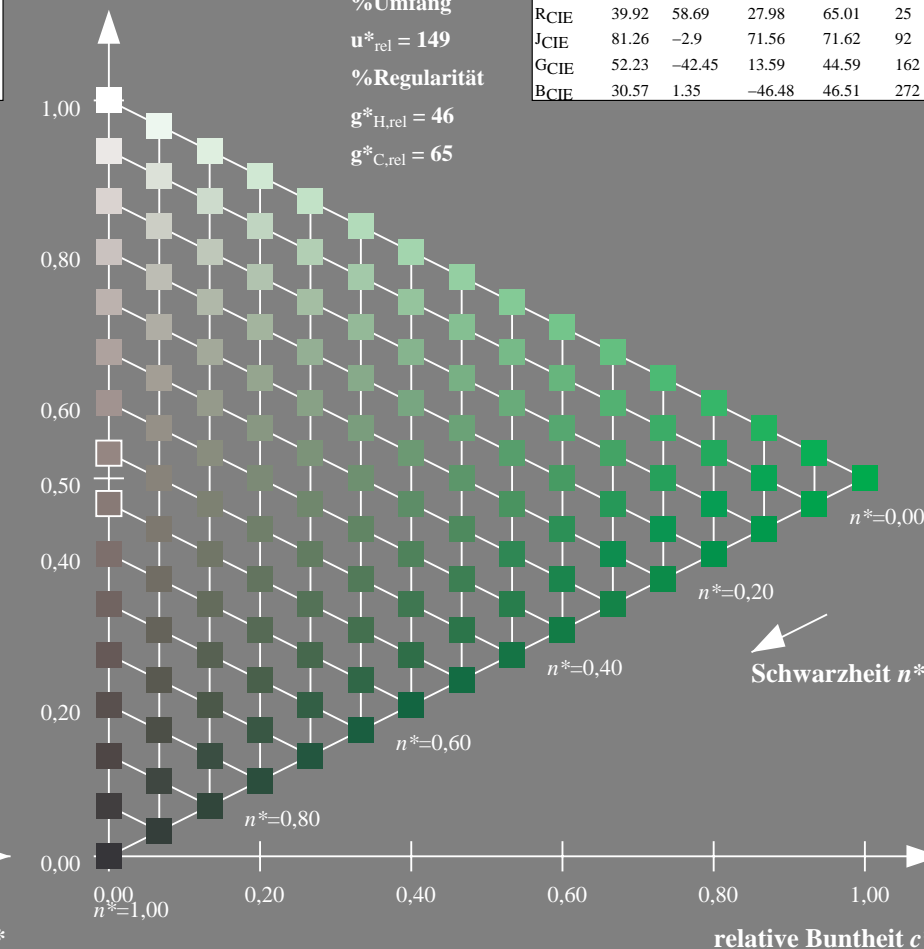
 $u^*_{rel} = 149$ 

%Regularität

 $g^*_{H,rel} = 46$  $g^*_{C,rel} = 65$ 

NCS11; adaptierte CIELAB-Daten

	$L^* = L^*_a$	$a^*_a$	$b^*_a$	$C^*_{ab,a}$	$h^*_{ab,a}$
RMa	47.15	84.64	37.25	92.48	24
JMa	91.37	-1.27	125.03	125.03	91
GMa	63.07	-114.28	25.35	117.06	167
G50B <sub>Ma</sub>	59.47	-80.6	-33.45	87.28	203
B <sub>Ma</sub>	49.01	3.65	-81.19	81.28	273
B50R <sub>Ma</sub>	44.06	106.09	-73.93	129.32	325
N <sub>Ma</sub>	10.99	0.0	0.0	0.0	0
W <sub>Ma</sub>	95.41	0.0	0.0	0.0	0
RCIE	39.92	58.69	27.98	65.01	25
JCIE	81.26	-2.9	71.56	71.62	92
GCIE	52.23	-42.45	13.59	44.59	162
BCIE	30.57	1.35	-46.48	46.51	272



16stufige Reihen für konstanten CIELAB Buntton 162/360 = 0.451 (rechts)

output: Startup (S) data dependend

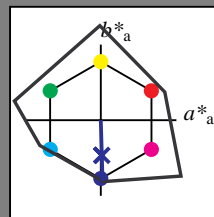
Eingabe: Farbmétrisches Reflexions-System NCS11

für Buntton  $h^* = lab^*h = 272/360 = 0,755$  $lab^*tch$  und  $lab^*nch$ 

D65: Buntton B

LCH\*Ma: 49 80 272

rgb\*Ma: 0.0 0.02 1.0

Dreiecks-Helligkeit  $t^*$ 

%Umfang

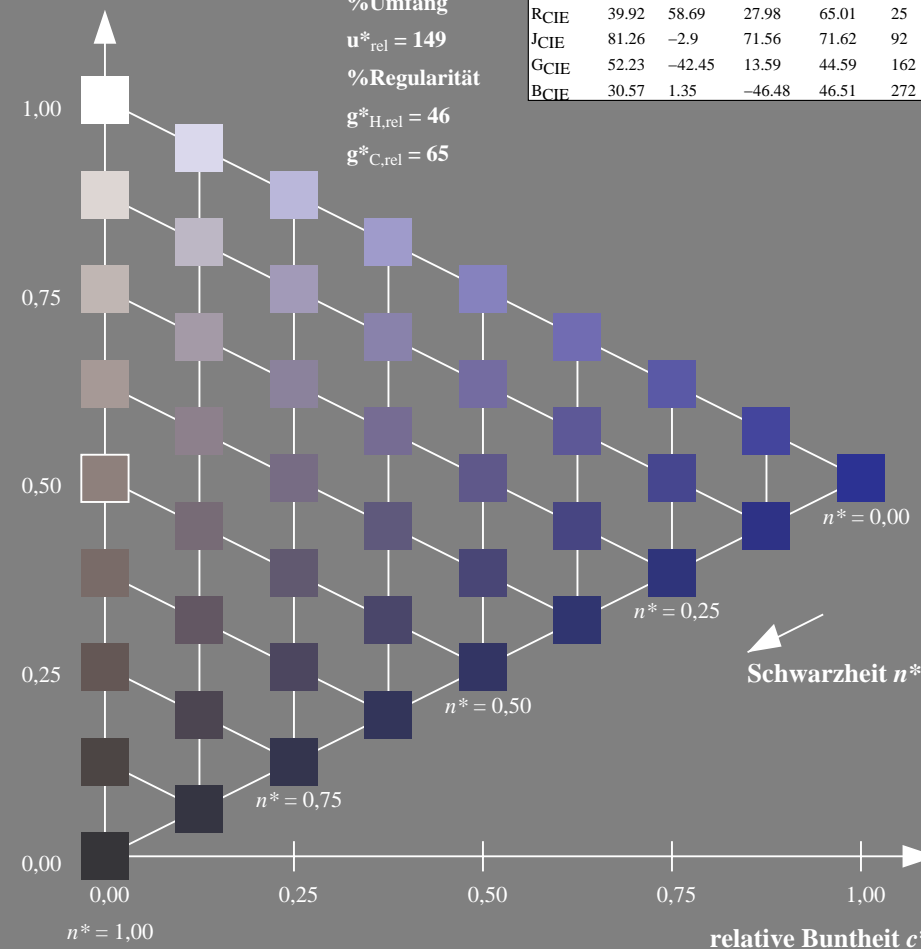
 $u^*_{rel} = 149$ 

%Regularität

 $g^*_{H,rel} = 46$  $g^*_{C,rel} = 65$ 

NCS11; adaptierte CIELAB-Daten

	$L^* = L^*_a$	$a^*_a$	$b^*_a$	$C^*_{ab,a}$	$h^*_{ab,a}$
RMa	47.15	84.64	37.25	92.48	24
JMa	91.37	-1.27	125.03	125.03	91
GMa	63.07	-114.28	25.35	117.06	167
G50BMa	59.47	-80.6	-33.45	87.28	203
BMa	49.01	3.65	-81.19	81.28	273
B50RMa	44.06	106.09	-73.93	129.32	325
NMa	10.99	0.0	0.0	0.0	0
WMa	95.41	0.0	0.0	0.0	0
RCIE	39.92	58.69	27.98	65.01	25
JCIE	81.26	-2.9	71.56	71.62	92
GCIE	52.23	-42.45	13.59	44.59	162
BCIE	30.57	1.35	-46.48	46.51	272



UG790-7, 9stufige Reihen für konstanten CIELAB Buntton 272/360 = 0.755 (links)

BAM-Prüfvorlage UG79; Farbmétrik-Systeme ORS18 &amp; ORS18input: cmy0\* setcmykcolor

D65: 9 und 16stufige Farbreihen für 10 Bunttöne

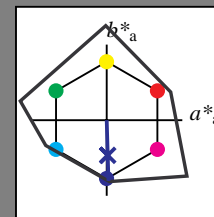
Ausgabe: Farbmétrisches Reflexions-System NCS11

für Buntton  $h^* = lab^*h = 272/360 = 0,755$  $lab^*tch$  und  $lab^*nch$ 

D65: Buntton B

LCH\*Ma: 49 80 272

rgb\*Ma: 0.0 0.02 1.0

Dreiecks-Helligkeit  $t^*$ 

%Umfang

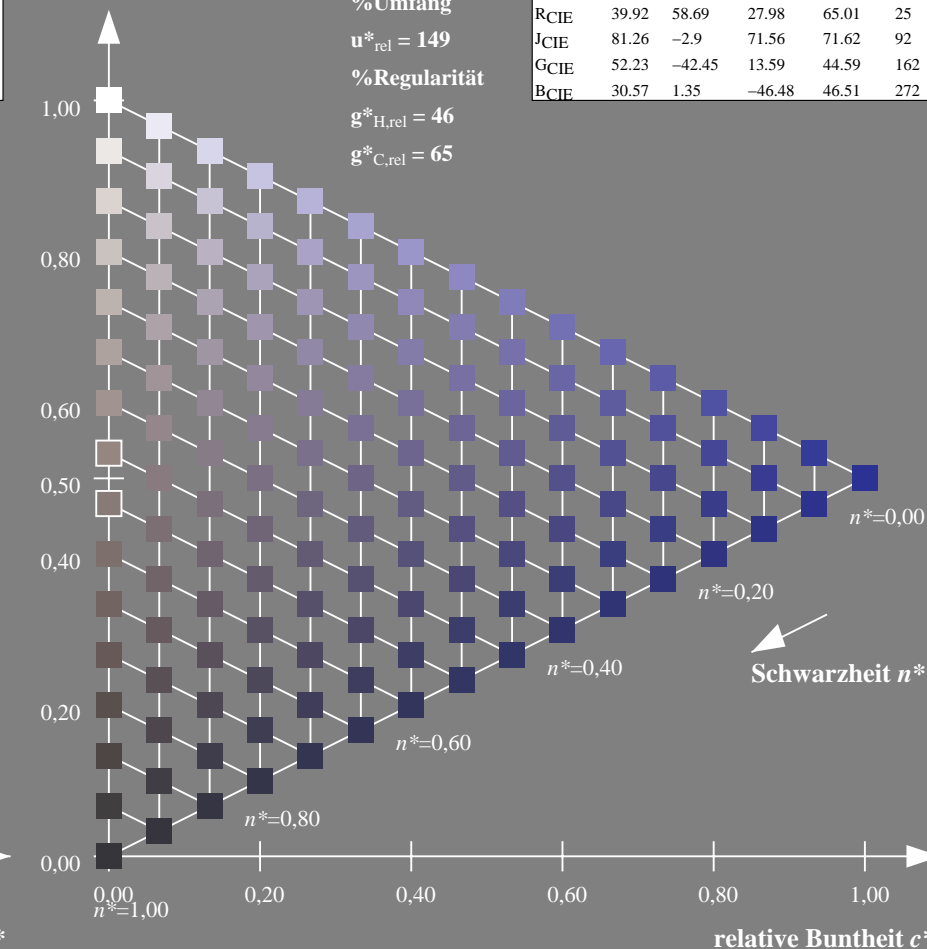
 $u^*_{rel} = 149$ 

%Regularität

 $g^*_{H,rel} = 46$  $g^*_{C,rel} = 65$ 

NCS11; adaptierte CIELAB-Daten

	$L^* = L^*_a$	$a^*_a$	$b^*_a$	$C^*_{ab,a}$	$h^*_{ab,a}$
RMa	47.15	84.64	37.25	92.48	24
JMa	91.37	-1.27	125.03	125.03	91
GMa	63.07	-114.28	25.35	117.06	167
G50BMa	59.47	-80.6	-33.45	87.28	203
BMa	49.01	3.65	-81.19	81.28	273
B50RMa	44.06	106.09	-73.93	129.32	325
NMa	10.99	0.0	0.0	0.0	0
WMa	95.41	0.0	0.0	0.0	0
RCIE	39.92	58.69	27.98	65.01	25
JCIE	81.26	-2.9	71.56	71.62	92
GCIE	52.23	-42.45	13.59	44.59	162
BCIE	30.57	1.35	-46.48	46.51	272



16stufige Reihen für konstanten CIELAB Buntton 272/360 = 0.755 (rechts)

output: Startup (S) data dependend